

액체혼합물의 밀도 측정과 3차식 상태방정식에 의한 과잉 몰부피의 표현

김정민, 최백선, 전정호¹, 배효광*

영남대학교 공과대학 응용화학공학부

¹대구도시가스(주)

(hkbae@yu.ac.kr*)

Density measurement of liquid mixture and expression of excess molar volume by a cubic equation of state

Jung-Min Kim, Baek-Sun Choi, Jung-Ho Jeon¹ and Hyo-Kwang Bae*

School of Chemical Engineering and Technology

¹Daegu city gas Co.

(hkbae@yu.ac.kr*)

서 론

Toluene+n-Alkane, Cyclohexane+n-Alkane의 2성분 혼합물과 같은 비극성 2성분계의 과잉 몰부피를 여러 가지의 3차식 상태방정식을 사용하여 계산한 결과 Huron-Vidal의 혼합법칙을 사용한 Peng-Robinson-Stryjek-Vera(이하 PRSV)의 상태방정식이 가장 우수함을 Djordjervic 등이 밝혔다.

본 연구에서는 tert.-Butyl-methylether(MTBE) +2,2,4-Trimethylpentane, MTBE + Methylethyl ketone(MEK), MEK + 2,2,4-Tri methylpentane의 2성분계와 같이 비극성+극성, 극성+극성 혼합액체의 밀도를 측정하고 과잉 몰부피를 계산하여 Huron-Vidal의 혼합법칙을 사용한 PRSV 상태방정식으로 계산한 결과를 비교하였다.

실 험

278.15K, 288.15K와 298.15K에서 MTBE +2,2,4-Trimethylpentane, MTBE + MEK, MEK + 2,2,4-Tri methylpentane 혼합물의 밀도를 Density meter(Anton Paar, DMA 58)를 사용하여 측정하였다. MTBE는 미국의 Acros organics, MEK는 일본의 Kanto Chemical Co., 2,2,4-Trimethylpentane은 Yakuri Pure Chemical Co.의 특급시약을 그대로 사용하였다.

결 과

Table 1-3의 실험결과로부터 과잉 몰부피를 얻고 PRSV 상태방정식을 사용하여 계산한 결과와 비교하였다(Table 5). PRSV의 상태방정식은

$$V^3P + V^2(Pb - RT) + V(a - 3Pb^2 - 2RTb) + Pb^3 + RTb^2 - ab = 0 \quad (1)$$

여기서 Huron-Vidal의 NRTL형 혼합법칙에 의하면

$$a = b \sum x_i [a_{ii}/b_{ii} - c (\sum x_j G_{ji} C_{ji} / \sum_k x_k G_{ki})] \quad (2)$$

$$c = 2\sqrt{2} / \ln [(2+\sqrt{2}) / (2-\sqrt{2})] \quad (3)$$

$$G_{ji} = b_j \exp (-\alpha_{ji} C_{ji} / RT) \quad (4)$$

$$C_{ji} = (g_{ji} - g_{ii}) \quad (5)$$

$$b = \sum x_i b_i \quad (6)$$

$$b_i = 0.0077796 (RT_{ci} / P_{ci}) \quad (7)$$

$$\alpha_{ii} = 0.457235 (R^2 T_{ci}^2 / P_{ci}) \beta_i \quad (8)$$

$$\beta_i = [a + \chi_i(1+T_{Ri}^{0.5})]^2 \quad (9)$$

$$\chi_i = \chi_{0i} + \chi_{1i} (1+T_{Ri}^{0.5}) (0.7 - T_{Ri}) \quad (10)$$

$$\chi_{0i} = 0.378893 + 1.4897153\omega_i - 0.17131848\omega_i^2 + 0.0196554\omega_i^3$$

χ_{1i} 는 순수물질의 증기압을 상태방정식에 적용하여 각각의 온도에서 계산하였으며 그 결과를 Table 4에 정리하였다.

Table 1. Density of MTBE(1) + 2,2,4-Trimethylpentane binary mixture

278.15K		288.15K		298.15K	
mole fraction component (1)	density[g/cm³]	mole fraction component (1)	density[g/cm³]	mole fraction component (1)	density[g/cm³]
0.10007	0.70804	0.09988	0.69952	0.09997	0.69112
0.20006	0.71175	0.19982	0.70303	0.19976	0.69437
0.29972	0.71573	0.30003	0.70703	0.29996	0.69805
0.39986	0.72011	0.40010	0.71114	0.40029	0.70206
0.50010	0.72491	0.50005	0.71576	0.49991	0.70630
0.59991	0.73009	0.59982	0.72061	0.60021	0.71113
0.69971	0.73575	0.70004	0.72621	0.69992	0.71638
0.79976	0.74215	0.79970	0.73209	0.79975	0.72228
0.89986	0.74918	0.90007	0.73883	0.90002	0.72868

Table 4. χ_1 in PRSV equation of state

	278.15 K	288.15 K	298.15 K
MTBE	0.05946	0.06984	0.07905
MEK	0.02536	0.02098	0.01715
2,2,4-Trimethylpentane	0.03833	0.03536	0.03301

Table 2. Density of MTBE(1) + MEK(2) binary mixture

278.15K		288.15K		298.15K	
mole fraction component (1)	density[g/cm³]	mole fraction component (1)	density[g/cm³]	mole fraction component (1)	density[g/cm³]
0.09991	0.81326	0.10013	0.80300	0.09993	0.79257
0.20016	0.80618	0.20002	0.79591	0.20003	0.78536
0.29989	0.79934	0.29982	0.78890	0.29993	0.77842
0.39977	0.79263	0.39996	0.78224	0.40020	0.77167
0.49976	0.78619	0.49986	0.77580	0.49989	0.76522
0.59948	0.78009	0.60003	0.76969	0.59948	0.75891
0.70006	0.77400	0.69995	0.76371	0.70167	0.75283
0.79995	0.76816	0.80019	0.75779	0.79989	0.74706
0.89994	0.76250	0.89934	0.75219	0.90017	0.74148

Table 3. Density of MEK(1) + 2,2,4-Trimethylpentane binary mixture

278.15K		288.15K		298.15K	
mole fraction component (1)	density[g/cm³]	mole fraction component (1)	density[g/cm³]	mole fraction component (1)	density[g/cm³]
0.09998	0.71003	0.09989	0.70133	0.09992	0.69293
0.19997	0.71639	0.19989	0.70759	0.20011	0.69886
0.29995	0.72394	0.30005	0.71492	0.30023	0.70567
0.40019	0.73256	0.39998	0.72320	0.40044	0.71415
0.49995	0.74247	0.50013	0.73302	0.49991	0.72351
0.59995	0.75376	0.60007	0.74403	0.59985	0.73461
0.69993	0.76688	0.69993	0.75700	0.69988	0.74740
0.80001	0.78230	0.79979	0.77209	0.79991	0.76214
0.89991	0.80002	0.90003	0.78952	0.90010	0.77962

Table 5. Comparison with the experimental excess molar volume and the calculated one for binary systems

System	Temp.	Parameters in PRSV Equation of state			AAD	AAD%
		[K]	α_{12}	C_{12}	C_{21}	
MTBE(1)+2,2,4-Trimethylpentane(2)	278.15	0.145	4936	1733	0.00248	1.00
	288.15	0.587	10721	-2764	0.00860	4.41
	298.15	0.800	-1054	6036	0.00596	2.53
MTBE(1)+MEK(2)	278.15	0.672	12913	-9646	0.00420	2.68
	288.15	0.487	2589	-400	0.00488	3.09
	298.15	0.578	12006	-8025	0.00369	2.64
MEK(1)+2,2,4-Trimethylpentane(2)	278.15	0.435	-15564	40020	0.00935	2.61
	288.15	0.993	5316	23938	0.00870	2.16
	298.15	0.377	-18849	43880	0.01095	2.29

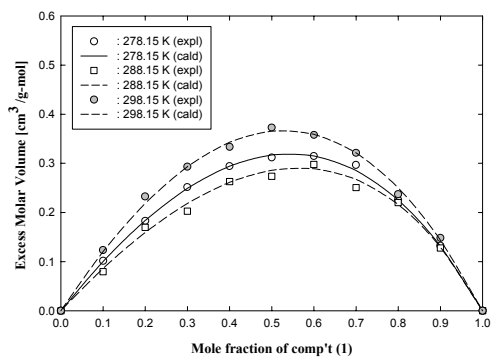


Fig. 1 Excess molar volume of MTBE(1)+2,2,4-Trimethylpentane(2)

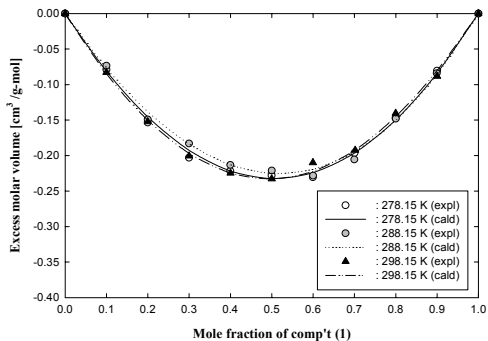


Fig. 2 Excess molar volume of MTBE(1)+MEK(2) mixture

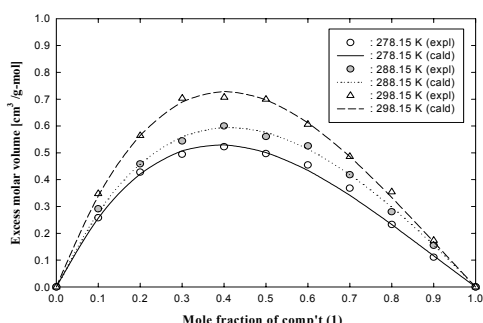


Fig. 3 Excess molar volume of MEK(1)+2,2,4-Trimethylpentane(2) mixture

종합

극성-비극성, 극성-극성의 2 성분계 액체혼합물의 과잉 몰부피를 측정하여 Huron-Vidal의 혼합법칙을 사용한 PRSV의 상태방정식으로 계산한 과잉 몰부피와 비교하였다. 일반적으로 상태방정식으로부터 액상의 부피를 잘 표현할 수 없는 것을 고려하면 계산의 결과는 AAD%가 매우 작은 값이다.

참고문헌

- [1] Djordjievic, B. D., Serbanovic, S. P. and Grazdanic, D. K., Can. J. Chem. Eng., 72, 171–176 (1994).
- [2] Stryjek, R. and Vera, J. H., Can. J. Chem. Eng., 64, 323–333 (1986).
- [3] Takishima, S., Saiki, K., Arai, K., and Saito, S., J. Chem. Eng. Japan, 19(4), 48–56 (1986).
- [4] Bae, H. K., Hwahak Konghak, 27(5), 698–703 (1989).